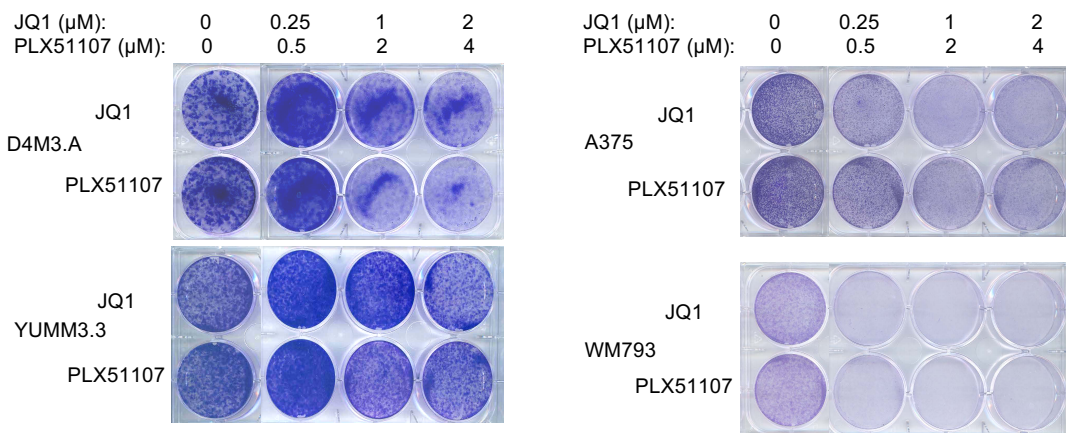
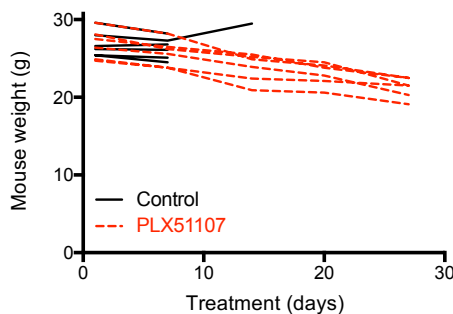
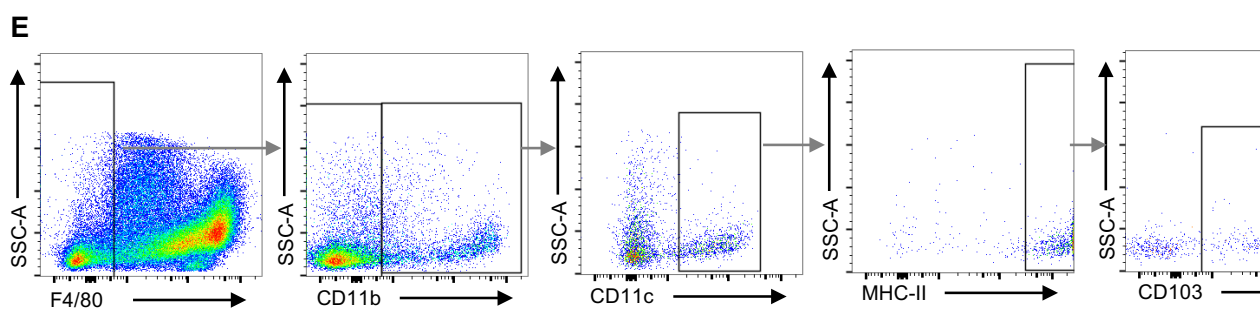
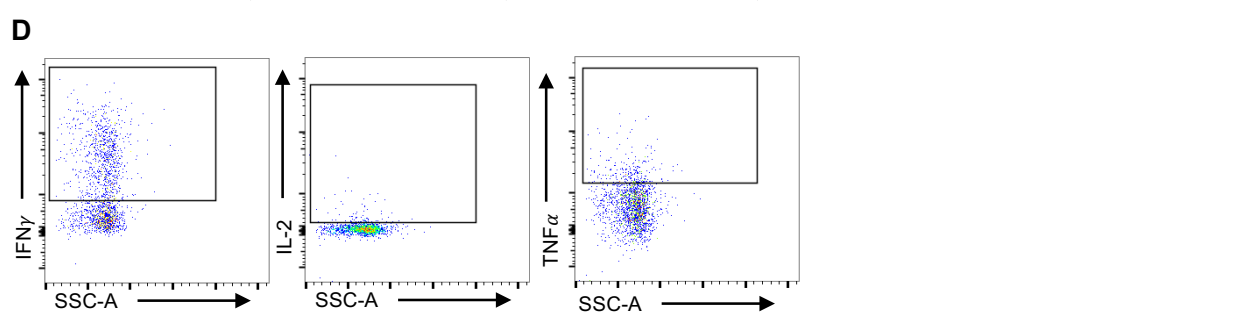
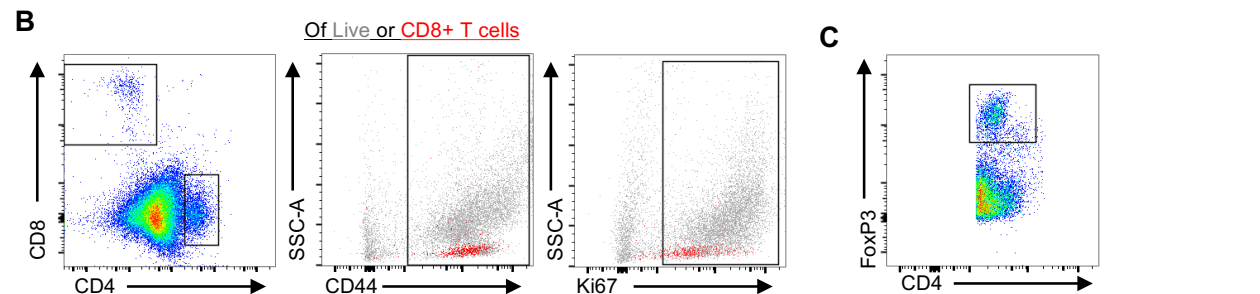
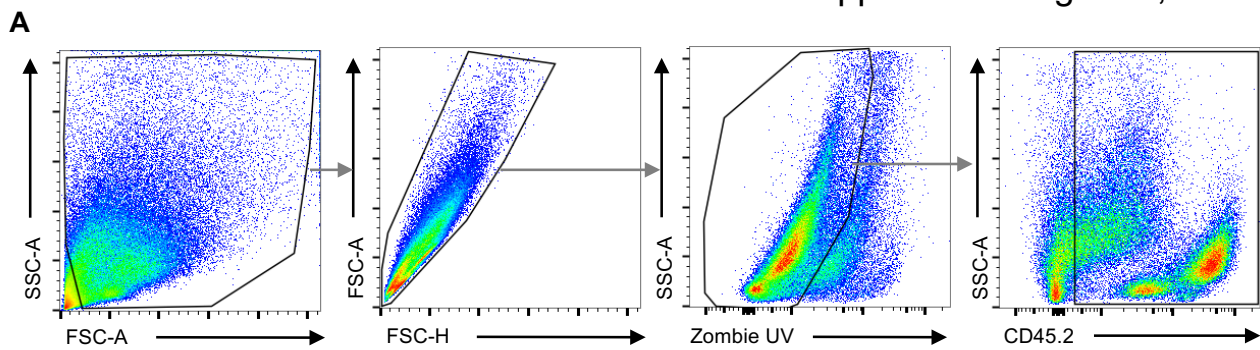
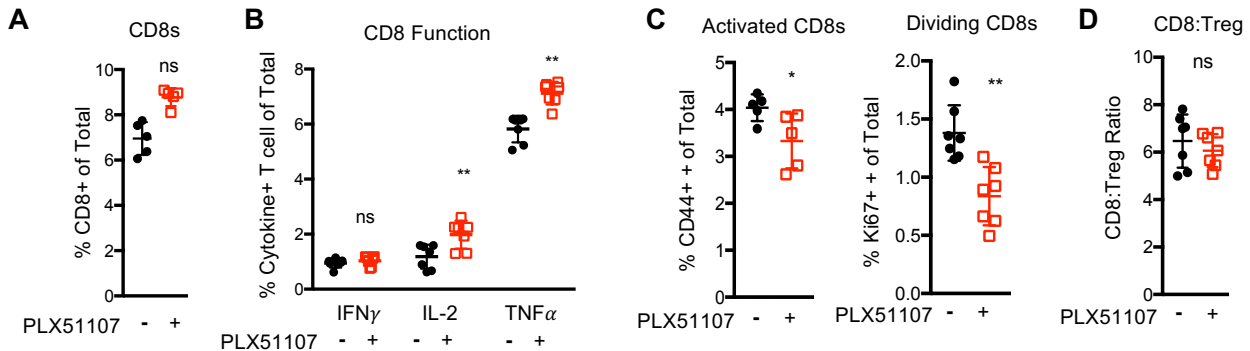


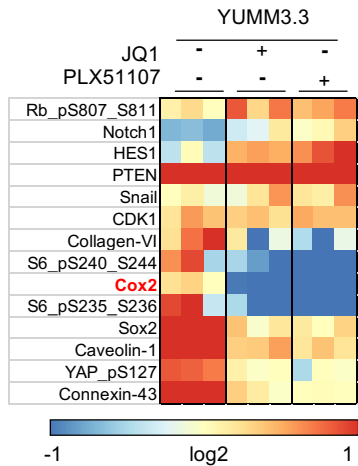
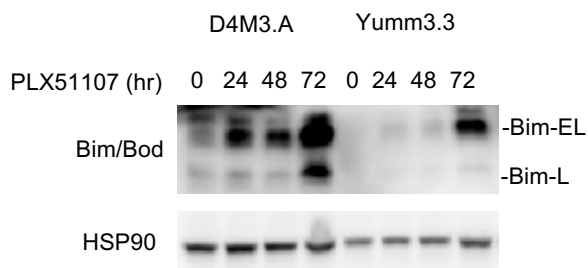
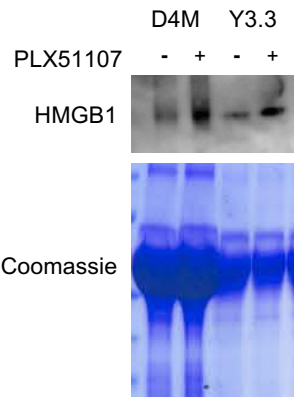
A

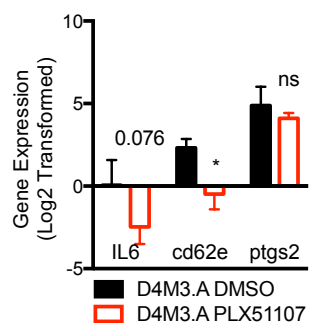
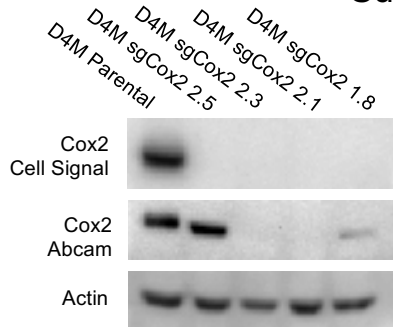
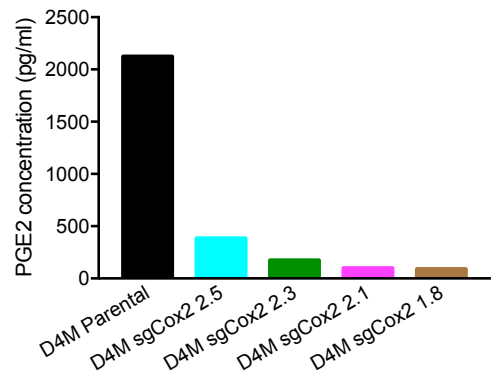
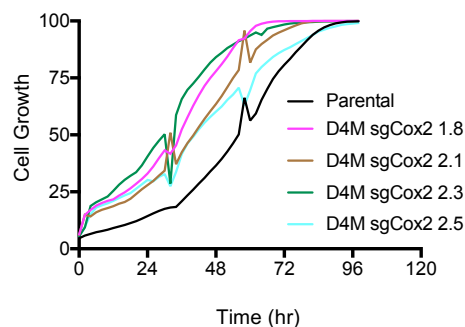
	Genotype
D4M3.A	BRAFV600E/wt Pten ^{-/-}
YUMM3.3	BRAFV600E/wt Cdkn2 ^{-/-}
YUMM4.1	Pten ^{-/-} Cdkn2 ^{-/-}

B**C**



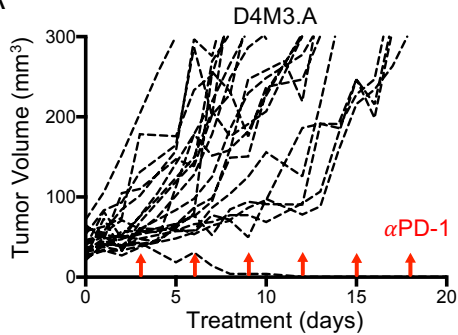


A**B****C**

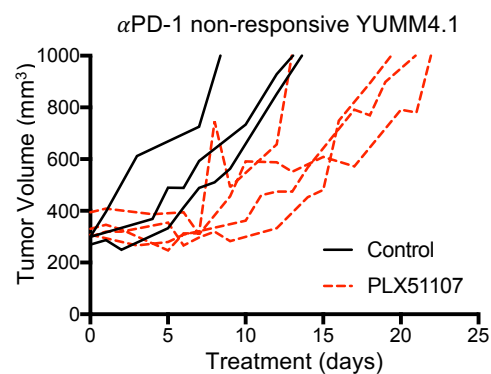
A**B****C****D**

A

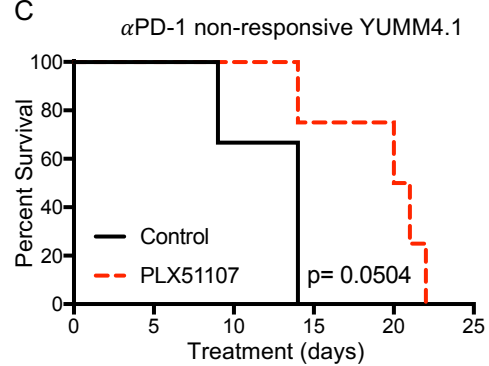
Supplemental Figure 6, Erkes et al, 2019



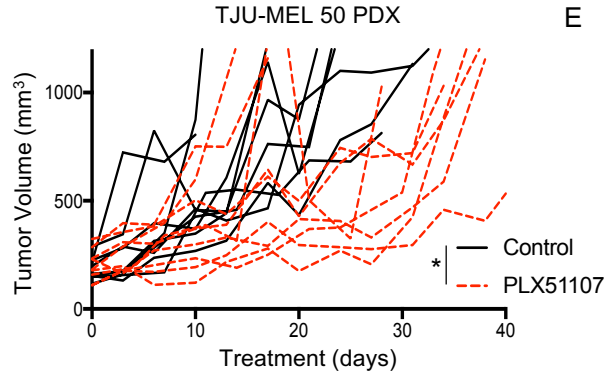
B



C



D



E

